

التنسيل المورثي والتعبير البروتيني عن الشكل ثانٍ قسيم من بروتين الأنكسين 7 البشري المؤشب

آية الطوير * د. عصام قاسم ** د. عبد القادر عبادي ***

(الإيداع: 20 حزيران 2021، القبول: 16 آب 2021)

الملخص:

يستعمل بروتين الأنكسين 7 المؤشب بصورة شائعة كواسم هام للكشف عن عملية الموت الخلوي المبرمج، حيث يرتبط بألفة عالية بجزئيات الفوسفاتيديل سيرين وذلك بوجود شوارد الكالسيوم. هدفت هذه الدراسة إلى تصميم نظام جديد للتعبير البروتيني عن الأنكسين 7 بصورة مندمجة مع مجال البلمرة hCH3 من أجل الحصول عليه بشكل ثانٍ قسيم. وقد تضمن ذلك بناء بلازميد pRSET-hCH3-ANXV من خلال تنسيل مورثة hCH3 مع واسم سداسي الهستيدين من النهاية الأمينية لمورثة الأنكسين 7، وتحت سيطرة المُمحَض T7. تم التعبير عن بروتين ANXV في الاشريكية الغولونية، وُنقى من سينوبلاسما هذه البكتيريا باستعمال كروماتوغرافيا الألفة المعدنية، وتم التأكد من ذلك بالرحلان الكهربائي وكذلك بالكشف عنه في اختبارات المقايسة المناعية الإنزيمية والتصبيم النقطي والمناعي باستعمال أضداد نوعية لبروتين الأنكسين 7. سيوفر بروتين الأنكسين 7 ثانٍ قسيم وسيلة فعالة لربط الفوسفاتيديل سيرين بألفة عالية، كما يمكن توظيفه بعد وسمه بالفلوريسين كأداة جزيئية سريعة وحساسة للكشف عن الفوسفاتيديل سيرين المعروض إما على أغشية الخلايا الداخلية في الموت الخلوي المبرمج أو الويصلات الغشائية.

الكلمات المفتاحية: الأنكسين 7، hCH3، ثانٍ قسيم، التنسيل المورثي، التعبير البروتيني.

* طالبة دكتوراه، قسم علم الحياة الحيوانية، كلية العلوم، جامعة دمشق، سوريا

* أستاذ دكتور، قسم علم الحياة الحيوانية، كلية العلوم، جامعة دمشق، سوريا

** مدير بحوث، قسم البيولوجيا الجزيئية والتقانة الحيوية، هيئة الطاقة الذرية،

Cloning and protein expression of human Annexin V homo-dimer recombinant protein

Aya Twair*

Issam Kassem**

Abdul Qader Abbady ***

(Received: 20 June 2021, Accepted: 16 August 2021)

Abstract:

Annexin-V (ANXV) is widely used as an excellent probe to mark apoptosis, which can bind with high affinity to phosphatidylserine (PS) in the presence of calcium ions. This study aimed to design a new system for protein expression of ANXV as fusion with hCH3 dimerization domain in order to produce ANXN homo-dimer. This included the construction of the pRSET-hCH3-ANXV plasmid by cloning hCH3 gene with 6×His tag upstream the N-terminal of ANXV gene in the T7 promoter-plasmid pRSET. The expressed CH3-ANXV protein from this plasmid in the cytoplasm of *E. coli* was purified using metal affinity chromatography, as shown after SDS-PAGE separation and blue gel staining and detected by ELISA and immunoblotting using ANXV-specific polyclonal antibodies. ANXV homo-dimer protein will provide an efficient tool for PS binding with high affinity, and can be used after fluorescein labelling as rapid, sensitive and molecular tool for PS detection on membranes of either apoptotic cells or exosomes

Keywords: Annexin V, hCH3, homo-dimer, gene cloning, protein expression.

*PhD student, department of Animal Biology, Faculty of Sciences, Damascus University, Syria

** Doctor of philosophy, department of Animal Biology, Faculty of Sciences, Damascus University, Syria

*** Research Director, department of Molecular Biology and Biotechnology, Atomic Energy Commission of Syria (AECS), Damascus, Syria

1. المقدمة

يتوافر الأنكسين 7 وهو بروتين وزنه الجزيئي 35 كيلو دالتون بكثرة في جسم الإنسان والحيوان والنبات وهو مهم في مختلف العمليات الخلوية والفيزيولوجية مثل نقل الإشارات الخلوية والالتهابات والنمو والتمايز (Reutelingsperger et al. 1985). كما يرتبط الأنكسين 7 مع العديد من الأمراض مثل أمراض السكري واضطرابات أخرى (Fatimathas and Moss 2010). ينتمي الأنكسين 7 إلى عائلة الأنكسينات التي يشتهر معظم أنواعها بقدرتهم على الارتباط مع الفوسفاتيديل سيرين (PS)، وهو أحد الشحوم الفوسفورية المولفة للغشاء الخلوي، بألفة عالية وذلك بوجود شوارد الكالسيوم (Lahorte et al. 2004). عادة ما تخضع الخلية المتماوتة بعدد من التغيرات الظاهرة والحيوية الكيميائية المميزة وأهمها تغير تمويض الفوسفاتيديل سيرين على جانبي الغشاء الخلوي ليصبح خارجي التمويض بدلاً من كونه داخلي التمويض في الخلايا السليمة (Vermeulen et al. 2005). من هنا كان توظيف الشكل المؤشب من الأنكسين 7 خارجي المنشأ في الكشف عن عملية الموت الخلوي المبرمج Apoptosis وذلك باستخدام مقياس التدفق الخلوي أو المجهر المتفلور (van Engeland et al. 1998). ونظراً للعلاقة الوثيقة بين الموت الخلوي المبرمج والسرطان فلا يبدو مستغرباً وجود ارتباط وثيق لبروتين الأنكسين 7 ببعض أنواع السرطان، حيث تتجه الكثير من الأبحاث الجديدة نحو دراسة أثر تنشيطه أو تثبيطه على مقاومة الخلايا السرطانية للمعاجلات المختلفة (Peng et al. 2014). كما يمكن من خلال بروتين الأنكسين 7 تتبع مدى استجابة الخلايا السرطانية للمعاجلات، لذلك يُعد هذا البروتين أداة لتقدير كفاءة علاج مرضى السرطان ومدى انتشار أو تراجع المرض (Yang et al. 2001). وكذلك في معايرة كمية الحويصلات الغشائية Exosomes التي تطلقها الخلايا السرطانية للتواصل فيما بينها والتي قد تعد مؤشراً لنوع السرطان ومرحلته (Arraud et al. 2015)، عدا عن تطبيقاته في ربط الجسيمات الشحمية Liposomes المستخدمة لتوصيل الدواء للخلية السرطانية الهدف (Zhang et al. 2014, Olusanya et al. 2018). من الناحية التطبيقية يتم إنتاج الأنكسين 7 المؤشب بالاعتماد على طرائق الهندسة الوراثية والبيولوجية الجزيئية ثم تقييته ووسمه بمركبات التفلور الكيميائية المختلفة، مثل الفلوريسين، واستخدامه في الدراسات الخلوية والنسيجية الخاصة بالتعرف على الخلايا المتماوتة وعدها (Vermes et al. 1995).

هناك العديد من الدراسات التي وصفت إنتاج بروتين الأنكسين 7 المؤشب سواء بشكله الحر أو المندمج مع البروتين الأخضر المتفلور (GFP) وذلك في طليعيات أو حققيات النوى (Ernst et al. 1998, Wang et al. 2006, Brumatti et al. 2008, Wang et al. 2015).

شرح هذا العمل مراحل التسليل المورثي والتعبير البروتيني في الإشريكية القولونية *E. coli*. عن بروتين الأنكسين 7 المؤشب للحصول عليه بشكل ثنائي القسيم Homo-dimer. ومن أجل تحقيق ذلك تم اختيار مجال البلمرة hCH3 المشتق من السلسلة الثقيلة للغلوبولين المناعي البشري IgG (Li et al. 1997). يتميز هذا المجال بعدم توليد استجابة مناعية تجاهه في جسم الإنسان مما يساعد في استخدام البروتين المنتج في التطبيقات السريرية كما يمكننا الاستفادة من هذا المجال كواسم من أجل الكشف والتقييم باستخدام أضداد نوعية له. إن الحصول على بروتين الأنكسين 7 بالشكل ثنائي القسيم قد يزيد من عمر النصف له في الدورة الدموية في حال استخدامه من أجل التصوير الجزيئي للخلايا داخل الجسم الحي، والذي قد يصل إلى 6-7 ساعات في الدوران عند الجرذ و 2.5 ساعة في الإنسان، بالإضافة لذلك قد ترتفع أفتة تجاه الفوسفاتيديل سيرين المعروض على سطح الخلايا المتماوتة مقارنة بالشكل أحادي القسيم (Kuypers et al. 2007).

2. هدف البحث:

هدف هذا البحث إلى إنتاج شكل جديد من بروتين الأنكسين 7 البشري المؤشب بالاعتماد على أنظمة التسليل المورثي والتعبير البروتيني في *E. coli*، وباستخدام البلازميد pRSET-CH3-ANXV الذي يتيح لنا الحصول على الأنكسين 7

في بنية بروتينية ثنائية القسم، هذه البنية ستحسن من فعاليته في ربط الفوسفاتيديل سيرين والكشف عن الموت الخلوي المبرمج.

3. مواد وطرق البحث

3.1. السلالات البكتيرية وشروط النمو

استُخدمت سلالتين من النوع *E. coli* من النوع (TOP10, Invitrogen) (BL21 GOLD DE3, Novagen) من أجل التسليل المورثي والتعبير البروتيني على التوالى. استُبنت هذه الخلايا في وسٍ مغذٍ (LB, Bio Basic INC) حاوٍ على المضاد الحيوى للأمبسلين (Ampicillin 100 µg/ml, Sigma) في حاضنة رجاجة عند الدرجة 37°C.

3.2. تركيب البلازميد pRSET-hCH3-ANXV

ضُحِّمت الشدفة الخاصة بمجال البلمرة hCH3 من بلازميد (pcDNA3-huCH3-m779ECD) الذي زودنا به مشكورة العالم الإيطالي Oscar Burrone، عن طريق تفاعل البلمرة التسلسلي PCR باستخدام شفع من المرئسات (hCH3 F/R) التي صُمِّمت باستخدام برنامج المعلوماتية الحيوية Geneious بحيث تضمّن المجال hCH3 وتضييف موقع التعرف الخاصة بإنزيمي التقيد NdeI/6xHis و NheI على النهايات 3' و 5' على التوالى (الجدول 1). وقد تم التضخيم باستخدام إنزيم عالي الوثوقية (AccuPrim™ Taq Polymerase High fidelity, Invitrogen) وذلك لتجنب أي خطأ في تسلسل النوكليوتيدات أثناء تضخيم المورثة. تضمن برنامج البلمرة فترة التمسخ الأولية Initial denaturation مدة 3 دقائق عند الدرجة 94°C، أتَيَّعت هذه الخطوة بـ 35 دورة تضمنت كل دورة، التمسخ Denaturation عند الدرجة 94°C مدة 30 ثانية، الإلتحام Annealing عند الدرجة 58°C مدة 45 ثانية، والاستطالة Extension عند الدرجة 68°C لمدة دقيقة.

ُسْلِلت الشدفة hCH3 المضخمة على مرحلتين، بداية ضمن البلازميد الناتج pDRIVE-hCH3 ثم قُطِّع البلازميد الناتج pRSET-ANXV على مورثة hCH3 بالإضافة للبلازميد المحضر من بحث سابق (Abbady et al. 2017) والحاوى على مورثة ANXV بإنزيمي التقيد (NdeI/NheI) ثم لُحِّمت نواتج القطع باستخدام طاقم لحام جاهز والحاوى على مورثة ANXV بإنزيمي التقيد (Ready-To-Go™ T4 DNA ligase Kit, GE Healthcare) بطريقة الصعق الكهربائي. حصلنا بعد التحوير على العديد من المستعمرات البكتيرية النامية على طبق LB بوجود TOP10 وألانتقاء المستعمرات البكتيرية الإيجابية الحاوية على التراكيب البلازميدية الصحيحة، أُجري تفاعل PCR باستخدام الأمبسلين. وألانتقاء المستعمرات الإيجابية على التراكيب البلازميدية الصحيحة، أُجري تفاعل PCR باستخدام مركبات نوعية للبلازميد pRSET (T₇F/T₇R) (الجدول 1). استُخلص البلازميد pRSET-hCH3-ANXV من المستعمرات الإيجابية باستخدام طاقم خاص بالتحضير البلازميدي (Miniprep, Qiagen)، ومن أجل التأكيد من نوعية الشدف الناتجة، قُطِّعت باستخدام إنزيمي التقيد (XbaI/HindIII).

الجدول رقم (١): المرئيات المستخدمة في الدراسة

يضم الجدول أسماء وأطوال وسلسلات المركبات التي تم استخدامها في تضخيم شدف الدنا لمورثة hCH3 وذلك بتفاعل البلمرة بغية تسليمها في بلزميد pRSET-ANXV.

نوع المرئسة	اسم المرئسة	طول المرئسة	السلسل النيكلوتيدي للمرئسة
المريضات الخاصة بتضخم مورثة CH3	hCH3F (NdeI+6xHis)	57	5'-ATATCATATGCCGGGTTCTCATCATCATCATCATGGCTCTGGGGGGCAGCCCCG-3'
المريضات الخاصة بالللاميد pDRIVE	hCH3R (NheI)	31	5'-ATATGCTAGCACCGGAAGATCCTTACCCGG-3'
المريضات الخاصة بالللاميد pRSET	FP	24	5'-CGCCAGGGTTTCCCAGTCACGAC-3'
المريضات الخاصة بالللاميد pRSET	RP	22	5'-TCACACAGGAAACAGCTATGAC-3'
المريضات الخاصة بالللاميد pRSET	T7F	20	5'-TAATACGACTCACTATAAGGG-3'
المريضات الخاصة بالللاميد pRSET	T7R	20	5'-TAGTTATTGCTCAGCGGTGG-3'

3.3. التعبير البروتيني عن البروتين المؤشب

حُورت السلاة البكتيرية (BL21(DE3)) بطريقة الصعق الكهربائي باستخدام البلازميد pRSET-hCH3-ANXV الحامل لمورثة hCH3 بشكل مدمج مع مورثة ANXV وتنيت الخلايا بعد التحويل على أطباق LB الحاوية على الأمسيلين. تم اختيار مستعمرة إيجابية وحيدة من الطبق المزروع وحضرتها في وسط زراعة حاوٍ على الأمسيلين لمدة ليلة كاملة في حاضنة رجاجة عند الدرجة 37°م. في اليوم التالي حُضن حوالي 10 مل من الزراعة السابقة مع 1 ليتر من وسط الزراعة مضافةً إليه الأمسيلين وعند بلوغ العكارة المطلوبة OD₆₀₀=0.5-0.7 أضيف إلى وسط الزراعة مركب (D-Isopropylthio-*l*-galactoside, IPTG, Promega) بتركيز نهائي 0.5 mM من أجل تحريض التعبير البروتيني، وحُضن المستبتت ليلة كاملة عند الدرجة 37°م. بعدها رُسّبت الخلايا وأعيد حلها باستخدام محلول الموقى (20 mM imidazole, 20 mM Tris-base, 300 mM NaCl) وحُطمت الجدر البكتيرية الخارجية بالأمواج فوق الصوتية باستخدام جهاز (Sonication, Lab Sonic)، ثم ثُقل المعلق بسرعة 8000 دورة/دقيقة لمدة 8 دقائق. أخيراً تم التخلص من الرسابة والاحتفاظ بالطافي الحاوي على البروتين المؤشب.

3.4. تنقية البروتين المؤشب

نُقْيَ البروتين المؤشب hCH3-ANXV وذلك بتمرير الخلاصة السيتوبلازمية للخلايا البكتيرية على عمود التنقية المشحون بجزيئات النيكل (Ni-NTA Agarose; Qiagen) باستخدام نظام الكروماتوغرافيا السائلة ذات الأداء السريع (FPLC AKTA prime, GE Life Science Flow-through)، حيث شُطفت البروتينات غير المرتبطة عن عمود النيكل باستخدام موقٍ الشطف (16.2 mM Na₂HPO₄, 3.8 mM NaHPO₄, 500 mM NaCl, 20 mM Imidazol) باستخدام موقٍ الشطف (pH: 7.4)، وحرر البروتين المؤشب النقي من العمود عن طريق تمرير نفس الموقٍ السابق ولكن بوجود تركيز أعلى من الإيميدازول (500 mM) والذي يعد المنافس القوي للواسم الهستيديني للارتباط بشوارد النيكل. أخيراً تم تركيز البروتين النقي باستخدام أنبوب التركيز (VivaSpin, Vivascence) ذو المسامية 10 كيلو دالتون، ثم قيس تركيزه بطريقة Bradford وُعدل إلى 1 ملغم/مل من أجل التخزين المديد عند الدرجة -20°C.

3.5. الرحلان الكهربائي للبروتينات والكشف المناعي

رُحلت عينات البروتين المؤشب النقي بتركيز ($0.5\text{ }\mu\text{g}/10\text{ }\mu\text{l}$) على هلامه عديد الأكريlamيد SDS-PAGE باستخدام نظام BioRad mini-Protein II system حسب تعليمات الشركة المنتجة. وحضرت الهلامات باستخدام هلامه عليا بتركيز 4 % لتكديس العينات وهلامه سفلى بتركيز 12 % لنرخيل العينات. بعد الانتهاء من الرحلان الكهربائي، صبغت الهلامه بمحلول صبغة أزرق الكوماسي لمدة ساعة مع التحرير ثم نقلت إلى محلول إزالة الصبغ وثرت مع التحرير حتى ظهر العصائب. وإجراء التبصيم المناعي Western Blot نقلت البروتينات من الهلامه غير المصبوغة إلى غشاء $0.45\text{ }\mu\text{m}$ من النتروسيليلوز (BioRad) باستخدام محلول التبصيم (25 mM Tris-base, 200 mM glycine, 0.1% SDS) (BioRad). بعد الحضن بموقعي الإحصار Blocking (3% طيب منزوع الدسم، في $1\times\text{TBS}$)، حضن الغشاء مع الأضداد النوعية لبروتين الأنكسين 7 المحضرة في الأربن بتمديد (1:3000) لمدة ساعة كاملة بدرجة حرارة المخبر. وبعد الغسل عدة مرات بموقعي الغسل (TBS-T 50 mM Tris-HCl, 150 mM NaCl, 0.05 % tween20) تم الكشف عن ارتباط الضد مع المستضد النوعي له بالحضن مع مصل الماعز الحاوي على أضداد تجاه بروتينات الأربن (Horseradish peroxidase conjugated goat anti rabbit, BioRad) والموسوم بإنزيم بيروكسيداز فجل الخيل (BioRad) بتمديد (1:3000) لمدة ساعة أيضاً.

في حين أجري التبصيم النقطي Dot blot بإضافة $1\mu\text{l}$ من بروتين CH3-ANXV 10 إلى غشاء النتروسيليلوز، كما تم استخدام البروتين الأخضر المتفور عالي الطي sfGFP (Al-Homsi et al. 2012) كشاهد سلبي، وبعد تعبئة فراغات الأغشية بموقعي الإحصار، حضنت الأغشية لمدة ساعة مع أمصال الأربن الحاوية إما على الأضداد النوعية للأنسين 7 بتمديد (1:3000) أو للغلوبولينات المناعية البشرية بتمديد (1:1000) أو النوعية للبروتين الأخضر المتفور بتمديد (1:3000)، تلى ذلك الكشف باستخدام مصل الماعز الموسوم بإنزيم البيروكسيداز والحاوي على أضداد تجاه بروتينات الأربن بتمديد (1:3000) وفي نهاية تجربتي التبصيم المناعي والتبصيم النقطي، أظهرت عصائب البروتينات والنقطات بإضافة مداد ملون اللون (AEC 3-amino-9-ethylcarbazole, chromogen substrate) محلول في موقعي الأسيتات بوجود الماء الأكسجيني.

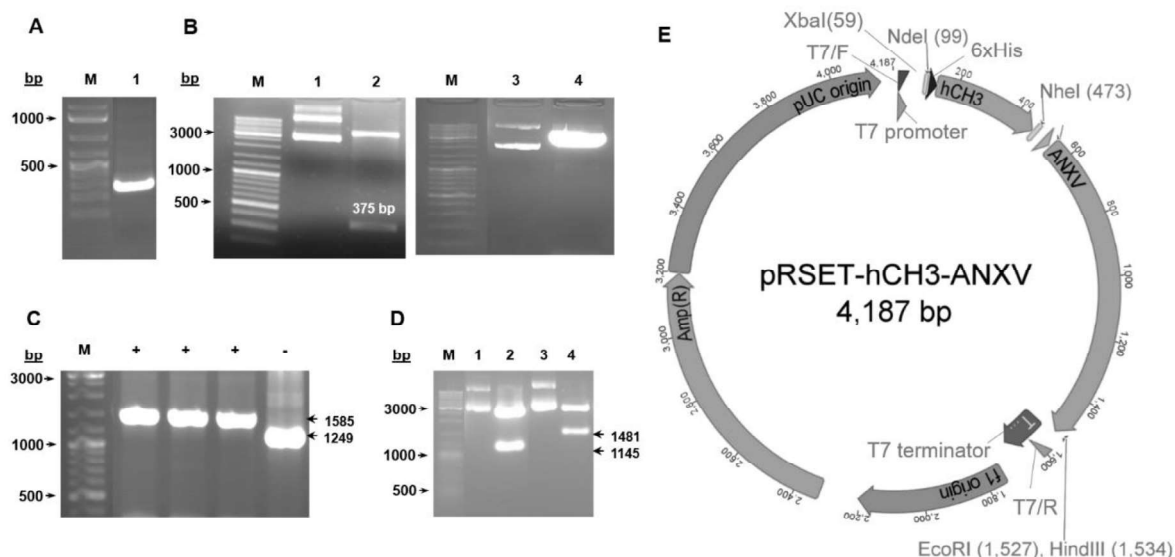
3.6. اختبار المقايسة المناعية الإنزيمية

تم تطبيق اختبار المقايسة المناعية الإنزيمية الشطائية (Sandwich-ELISA) حيث غُلفت صفيحة ذات 96 بئر (Maxisorb-Nunc) باستخدام أضداد الأنكسين 7 منحلة ضمن موقعي كريونات الصوديوم بتمديد (1:1000) مدة ليلة كاملة عند الدرجة 4°C وفي اليوم التالي غُسلت الصفيحة ثلاثة مرات بالموقعي TBS-T. في حين تم تعبئة بقية موقع ارتباط البروتينات على سطح الآبار باستخدام موقعي الإحصار لمدة ساعة عند درجة حرارة المخبر. بعد التخلص من موقعي الإحصار، غُسلت الصفيحة وحضرت ساعة أخرى مع البروتينات المؤشبة. بعدها غُسلت الصفيحة ثلاثة مرات ثم أضيفت الأضداد النوعية لواسم سداسي الهستيدين لمدة ساعة كاملة. ومن أجل الكشف عن الارتباط النوعي بين المستضد والضد، أضيف مصل الماعز الحاوي على أضداد تجاه بروتينات الأربن والموسوم بإنزيم بيروكسيداز فجل الخيل لمدة ساعة عند درجة حرارة المخبر. وبعد غسل الصفيحة، أضيف المداد (3,3',5,5'-Tetramethylbenzidine, TMB, Sigma) ثم حمض الكبريت M_1 لإيقاف التفاعل، ثم قيست المطيافية الناتجة عند طول الموجة 450 نانومتر.

4. النتائج ومناقشتها

4.1. تنسيل مورثة hCH3 داخل البلازميد pRSET-ANXV

أعطى تفاعل PCR باستخدام شفع المرئسات hCH3 F/R شدفة من الدنا الخاصة بمحال البلمرة hCH3 بطول 400 bp (الشكل 1A). نُسّلت الشدفة السابقة في بلازميد pDRIVE-hCH3. أعطى قطع بلازميد pDRIVE-hCH3 بإنزيمي التقيد (NdeI/NheI) شدفة بطول 375 bp ذات نهايات لزجة جاهزة للاتحام مع البلازميد pRSET-ANXV بعد أن تم قطعه بنفس إنزيمي التقيد (الشكل 1B). استُخدم ناتج الاتحام من أجل تحويل السلالة البكتيرية TOP10 واختيرت المستعمرات الإيجابية بواسطة تفاعل PCR باستخدام مرئسات نوعية للبلازميد pRSET (T₇F/T₇R)، حيث تظهر شدفة بطول 1585 bp إن كانت إيجابية – أي حاوية على البلازميد وبه شدفة CH3 – مقارنة بالشدفة 1249 bp عند غياب CH3 (الشكل 1C). تُميّز المستعمرات الإيجابية واستُخدمت من أجل تقييد البلازميدات بطريقة Miniprep، وتم التحقق من البنية (الشكل 1D).

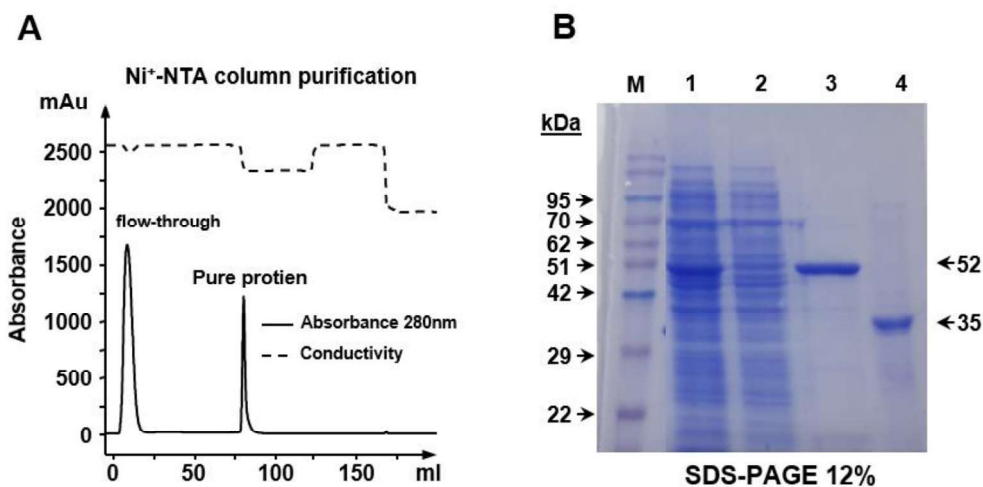


الشكل رقم (1) : مراحل التنسيل المورثي والحصول على البنية البلازميدية pRSET-hCH3-ANXV
الصحيحة للبلازميد الناتج بقطعه بإنزيمي التقيد (XbaI/HindIII)، حيث نلاحظ على هلامة الرحلان أن الشدفة 1481 bp الناتجة عن المعاملة الإنزيمية للبلازميد pRSET-hCH3-ANXV أعلى من الشدفة 1145 bp الناتجة عن معاملة البلازميد الشاهد بنفس الأنزيم (الشكل 1D). يمتاز البلازميد pRSET-hCH3-ANXV بوجود المحضن الفعال T7 الذي يؤدي إلى زيادة مستوى التعبير البروتيني، بالإضافة إلى واسم سداسي الهستيدين الذي تم تنسيله من النهاية الأمينية للبروتين (الشكل 1E). عادة ما يتم إضافة هذا الواسم إلى الطرف الأميني أو الكريوكسيلي من البروتينات المؤثبة (الشكل 1E). حيث يعتبر ضروريًا لخطوات التتقية والكشف عن البروتين المؤثب باستخدام الأضداد النوعية له. كما يحوي البلازميد الشدفة hCH3 والتي نُسّلت من الطرف الأميني لمورثة ANXV، لقد ذكر باحثون في دراسات سابقة أنه يفضل الدمج من الطرف الأميني لبروتين ANXV وإلا سوف يفقد قدرته على الارتباط مع جزيئات الفوسفاتيديل سيرين (Ernst et al. 1998).

(A) الرحلان الكهربائي لنتائج تضخيم مورثة hCH3 F/R (المسار 1). (B) ناتج قطع البني البلازميدي بإنزيمات التقبيب (NdeI/NheI)، يحتوي (المسارين 1 و 2) البلازميد pDRIVE قبل وبعد القطع، في حين يحتوي (المسارين 3 و 4) الشدف الخاصة بالبلازميد pRSET-ANXV قبل وبعد القطع على التوالي. (C) نواتج تفاعل البلمرة الذي أُجري على المستعمرات البكتيرية للتأكد من دخول البني البلازميدي pRSET-hCH3-ANXV باستخدام المرئسات (T₇F/T₇R). (D) التأكيد من صحة البنية البلازميديّة الناتجة عن عملية التسليل من خلال قطعها بإنزيمي التقبيب XbaI/HindIII وفصل نواتج القطع: يحتوي (المسارين 1 و 2) الشاهد السلبي وهو البلازميد pRSET-ANXV قبل وبعد عملية القطع على التوالي، بينما يحتوي (المسارين 3 و 4) البلازميد pRSET-hCH3-ANXV قبل وبعد عملية القطع. فُصلت الشدف على هلامات من الأغاروز بتركيز 1.5% ويمثل (المسار M) سلم الدنا الجزيئي المعياري في كافة الأشكال. (E) ترسيم دائري لبنية البلازميد pRSET-hCH3-ANXV ظهر فيها أهم المكونات المميزة له مثل المحضن T₇، التسلسل المرمز لواسم سداسي الهستيدين His tag 6x، مورثي مجال البلمرة hCH3 وبروتين ANXV، التسلسل المسؤول عن تضاعف البلازميد f1 origin ضمن السلالة E. coli والمورثة المقاومة للأمبسلين Amp، بالإضافة لموقع التحام المرئسات النوعية (T₇F/T₇R) وأنزيمات التقبيب المستخدمة في التسليل.

4.2. تحضير بروتين CH3-ANXV المؤشب

بعد نهاية مراحل التعبير البروتيني عن hCH3-ANXV، ثُقى البروتين المؤشب بالاعتماد على وجود واسم سداسي الهستيدين ذو الألفة العالية لشوارد النيكل المنتشرة على ملاط عمود التقيبة. سمح جهاز الكروماتوغرافي ذات الألفة المعدنية بمتابعة عملية التقيبة المباشرة، حيث لوحظ ظهور قمة عالية نسبياً في منحني الامتصاصية بطول الموجة 280 نانومتر النوعية للبروتينات مما يشير إلى كمية جيدة من البروتين النقبي (الشكل 2A). تم الكشف عن البروتين المؤشب النقبي باستخدام الرحلان الكهربائي عبر هلامنة الأكريلاميد الملونة بأزرق الكوماسي حيث ظهرت عصابة بوزن جزيئي يقارب 52 كيلو دالتون مقارنة مع بروتين ANXV بوزن 35 كيلو دالتون (الشكل 2B). بالمقارنة مع دراسات سابقة، تم استخدام طرائق مختلفة ومتباعدة من أجل تنقية بروتين ANXV معتمدين بذلك على ألفة هذا البروتين لجزيئات الفوسفاتيديل سيرين بوجود شوارد الكالسيوم، حيث تمت تنقية ANXV لفترة طويلة بهذه الطريقة (Ernst et al. 1998). في هذه الدراسة قمنا بإضافة واسم سداسي الهستيدين من الطرف الأميني واستخدام عمود مشحون بالنيكل كطريقة بديلة وجيدة لتنقية البروتين. أثبتت هذا النوع من التنقية فعاليته في دراسات سابقة جرت في مخابر هيئة الطاقة الذرية السورية حيث تم إنتاج العديد من البروتينات المؤشبة وتنتفيتها بهذه الطريقة (Abo Assali et al. 2011, Abo Assali et al. 2012, Al-Homsi et al. 2012, Homsi et al. 2012). ونظراً لصغر حجمه (~2 كيلو دالتون)، فإن واسم سداسي الهستيدين لا يسبب مشكلة تتعلق بالوزن الجزيئي الأكبر للبروتينات المندمجة معه، كما أنه من غير المرجح أن ترتبط عملية التنقية من خلال هذا الواسم وظيفة البروتين المندمج معه. بالإضافة إلى ذلك، فإن درجة حموضة الموقى المستخدم أثناء عملية التنقية الخاصة به تتراوح بشكل عام بين 7 و 8، وهو مناسب لفعالية بروتين الأنكسين 7 (Logue et al. 2009). أخيراً تم الحصول على بروتين بنقاوة حوالي 90% وبقياس تركيز البروتين بطريقة Bradford كانت مردوديته بحدود 50 ملغ من كل ليتر من الوسط البكتيري المحضر.

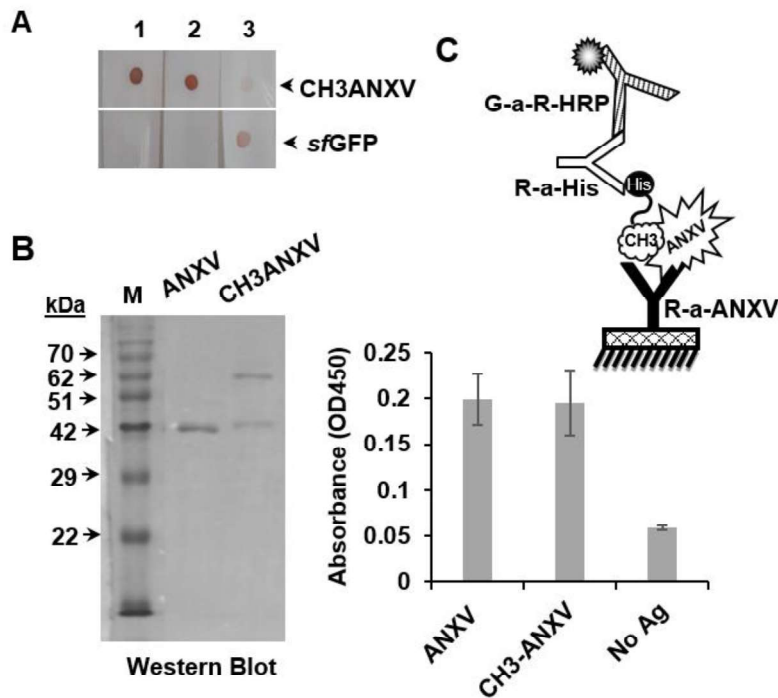


الشكل رقم (2): مراحل التعبير البروتيني عن البروتين CH3-ANXV وتنقيته

(A) رسم تخطيطي يوضح عملية تنقية البروتين المؤشب باستخدام عمود النikel Ni^{+2} -NTA المثبت على جهاز كروماتوغرافيا الألفة المعدنية، يمثل الخط المستمر امتصاصية الطور الخارج من العمود، كما تمت الإشارة للمنحنيات الخاصة بالجزء المغسول عن العمود (flow-through) بالإضافة لعينة البروتين النقى، أما الخط المنقط فيمثل الناقلة الكهربائية لجزء المشطوف عن العمود. (B) هلامة عديد الأكريلاميد 12% المصبوبة بأزرق الكوماسي بعد ترحيل الخلاصة البروتينية المحضرة من البكتيريا المحورة ببلازميد pRSET-hCH3-ANXV و ذلك بعد تحريض التعبير البروتيني فيها، حيث يمثل المسار 1: طافى التقطيم بالأمواج فوق الصوتية، والمسار 2: راشح العمود خلال التنقية والمسار 3: يمثل بروتين CH3-ANXV المؤشب النقى يمثل المسار 4: الشاهد وهو بروتين ANXV المؤشب النقى ، كما يظهر في المسار M سلم الأوزان الجزيئية مقدراً بالكيلو دالتون.

4.3. الكشف المناعي عن بروتين CH3-ANXV

تم الكشف عن بروتين CH3-ANXV من خلال تقاقيات حيوية مختلفة. أكدت نتائج التبصيم النقطي احتواء البروتين المنتج على مجال البلمرة CH3 من خلال تفاعله مع الأضداد النوعية للغلوبيولينات المناعية، كما ثبت وجود ANXV في البروتين من خلال تفاعله مع الأضداد النوعية لبروتين الأنكسين V متعددة النسيلة والمحضرة في الأرنب وذلك في مخابر هيئة الطاقة الذرية السورية، في حين أن البروتين CH3-ANXV لم يبد تفاعلاً مع الضد النوعي للبروتين الأخضر المنقول والذي استُخدم كشاهد وكان قادراً على التفاعل مع المستضد الخاص به (sfGFP) فقط (الشكل 3A). وبشكل مماثل أكدت تجربة التبصيم المناعي قدرة أضداد الأنكسين V في الكشف عن بروتين CH3-ANXV حتى بعد فقدانه البنية الثلاثية إثر الرحalan الكهربائي (الشكل 3B). وبالاعتماد على طريقة المقايسة المناعية الإنزيمية الشطائرية، غُلّفت الصفيحة بأضداد الأنكسين V التي استُخدمت هنا لربط بروتينات ANXV وليس للكشف عنها. بعدها أضيف البروتينات المؤشبة CH3-ANXV أو (No Ag) حيث استطاعت الأضداد النوعية لواسم سداسي الهستيدين الكشف عنها مقارنة بغياب المستضد (الشكل 3C).



الشكل رقم (3) : الكشف المناعي عن بروتين CH3-ANXV

(A) التبصيم النقطي باستخدام ثلاثة أنواع من الأصداد النوعية: الصند النوعي للغلوبيلينات المناعية البشرية (1) والضد النوعي للأنيكسين 7 (2) والضد النوعي للبروتين الأخضر المتفجر (3) من أجل الكشف عن البروتينات المؤشبة: sfGFP و CH3-ANXV كشاهد سلبي. (B) التبصيم المناعي للبروتينات المؤشبة: تم تثبيت (0.5 ميكروغرام/بئر) من CH3-ANXV و ANXV على غشاء التتروسيليلوز وذلك بعد ترحيلها على هلامة عديد الأكريلاميد 12% واستخدام أصداد الأنيكسين 7 للكشف عنها، وبوجود سلم الأوزان الجزيئية الخاص بالبروتينات في المسار M. (C) تم إجراء اختبار المقايسة المناعية الإنزيمية الشطائية وذلك بتغليف الصفيحة بأصداد الأربن الموجه للأنيكسين 7 التي استخدمت كضد لاقط للكشف عن بروتين الأنيكسين 7، بعدها تم الكشف عن ارتباط المستضد بواسطة أصداد واسم الهمستيدين كما تم اختبار غياب المستضد كشاهد سلبي للتجربة.

الاستنتاجات والتوصيات

يعد نظام التعبير عن البروتينات المؤشبة أداة هامة للأبحاث البيولوجية الأساسية والتطبيقية الطبية بالإضافة للأهداف التجارية (Khan 2013). يعد بروتين CH3-ANXV المنتج أداة هامة تسمح بإمكانية إجراء جملة من الدراسات بهدف تقييم فعاليته وكفاءته في ربط الفوسفاتيديل سيرين بالمقارنة مع بروتين ANXV، حيث نوصي بوسمه بمركبات التفلور واختباره في الكشف عن الموت الخلوي المبرمج في الزجاج وجسم الكائن الحي.

الشكر

يتقدم معدّي الورقة بجزيل الشكر للسادة المدير العام لهيئة الطاقة الذرية السورية ورئيس قسم البيولوجيا الجزيئية والتقانة الحيوية لدعمهما المتواصل أثناء هذا العمل.

المراجع

- 1– Abbady, A. Q., A. Twair, B. Ali and H. Murad, (2017). Characterization of Annexin V Fusion with the Superfolder GFP in Liposomes Binding and Apoptosis Detection. *Front Physiol*, **8**: 317.
- 2– Abo Assali, L., A. Al Mariri, E. Hamad and A. Q. Abbady, (2011). Cloning and protein expression of Yersinia GroEL using pHEN6 plasmid. *Damascus Univ J Basic Sci*, **00**(00): 00–00.
- 3– Abo Assali, L., H. Masoud, A. Al Mariri, E. Hamad and A. Q. Abbady, (2012). Cloning and expression of recombinant Brucella GroEL using pHEN6 plasmid. *Mansoura J Biol*, **38**(1): 00–00.
- 4– Al-Homsi, L., J. M. Al-Assad, M. Kweider, S. Al-Okla and A. Q. Abbady, (2012). Construction of pRSET-sfGFP plasmid for fusion–protein expression, purification and detection. *Jordan J Biol Sci*, **5**(4): 279–288.
- 5– Al-Homsi, L., S. Al-Okla and A. Q. Abbady, (2012). Cloning of Mutacin gene from Streptococcus mutans and its protein expression using pT7–his plasmid. *J Agricult Chem Biotech*, **3**(1): 19–28.
- 6– Arraud, N., C. Gounou, R. Linares and A. R. Brisson, (2015). A simple flow cytometry method improves the detection of phosphatidylserine-exposing extracellular vesicles. *J Thromb Haemost*, **13**(2): 237–247.
- 7– Brumatti, G., C. Sheridan and S. J. Martin, (2008). Expression and purification of recombinant annexin V for the detection of membrane alterations on apoptotic cells. *Methods*, **44**(3): 235–240.
- 8– Ernst, J. D., L. Yang, J. L. Rosales and V. C. Broaddus, (1998). Preparation and Characterization of an Endogenously Fluorescent Annexin for Detection of Apoptotic Cells. *Anal Biochem*, **260**(1): 18–23.
- 9– Fatimathas, L. and S. E. Moss, (2010). Annexins as disease modifiers. *Histol Histopathol*, **25**(4): 527–532.
- 10– Khan, K. H., (2013). Gene expression in Mammalian cells and its applications. *Adv Pharm Bull*, **3**(2): 257–263.
- 11– Kuypers, F. A., S. K. Larkin, J. J. Emeis and A. C. Allison, (2007). Interaction of an annexin V homodimer (Diannexin) with phosphatidylserine on cell surfaces and consequent antithrombotic activity. *Thromb Haemost*, **97**(3): 478–486.

- 12– Lahorte, C. M., J. L. Vanderheyden, N. Steinmetz, C. Van de Wiele, R. A. Dierckx and G. Slegers, (2004). Apoptosis-detecting radioligands: current state of the art and future perspectives. *Eur J Nucl Med Mol Imaging*, **31**(6): 887–919.
- 13– Li, E., A. Pedraza, M. Bestagno, S. Mancardi, R. Sanchez and O. Burrone, (1997). Mammalian cell expression of dimeric small immune proteins (SIP). *Protein Eng*, **10**(6): 731–736.
- 14– Logue, S. E., M. Elgendi and S. J. Martin, (2009). Expression, purification and use of recombinant annexin V for the detection of apoptotic cells. *Nat Protoc*, **4**(9): 1383–1395.
- 15– Olusanya, T. O. B., R. R. Haj Ahmad, D. M. Ibegbu, J. R. Smith and A. A. Elkordy, (2018). Liposomal Drug Delivery Systems and Anticancer Drugs. *Molecules*, **23**(4).
- 16– Peng, B., C. Guo, H. Guan, S. Liu and M. Z. Sun, (2014). Annexin A5 as a potential marker in tumors. *Clin Chim Acta*, **427**: 42–48.
- 17– Reutelingsperger, C. P., G. Hornstra and H. C. Hemker, (1985). Isolation and partial purification of a novel anticoagulant from arteries of human umbilical cord. *Eur J Biochem*, **151**(3): 625–629.
- 18– van Engeland, M., L. J. Nieland, F. C. Ramaekers, B. Schutte and C. P. Reutelingsperger, (1998). Annexin V-affinity assay: a review on an apoptosis detection system based on phosphatidylserine exposure. *Cytometry*, **31**(1): 1–9.
- 19– Vermes, I., C. Haanen, H. Steffens-Nakken and C. Reutelingsperger, (1995). A novel assay for apoptosis. Flow cytometric detection of phosphatidylserine expression on early apoptotic cells using fluorescein labelled Annexin V. *J Immunol Methods*, **184**(1): 39–51.
- 20– Vermeulen, K., D. R. Van Bockstaele and Z. N. Berneman, (2005). Apoptosis: mechanisms and relevance in cancer. *Ann Hematol*, **84**(10): 627–639.
- 21– Wang, F., X. W. He, H. L. Yan, J. J. Huang, Y. Zhang, L. Jiang, Y. J. Gao and S. H. Sun, (2006). Non-fusion expression in Escherichia coli: Single-step purification of recombinant human annexin A5 for detection of apoptosis. *Protein Expr Purif*, **45**(1): 80–87.
- 22– Wang, J., L. He, D. Chen, Y. Pi, W. Zhou, X. Xiong, Y. Ren, Y. Lai and Z. Hua, (2015). Quantitative analysis of annexin V-membrane interaction by flow cytometry. *Eur Biophys J*, **44**(5): 325–336.
- 23– Yang, D. J., A. Azhdarinia, P. Wu, D. F. Yu, W. Tansey, S. K. Kalimi, E. E. Kim and D. A. Podoloff, (2001). In vivo and in vitro measurement of apoptosis in breast cancer cells using 99mTc-EC-annexin V. *Cancer Biother Radiopharm*, **16**(1): 73–83.

- 24– Zhang, L., H. Zhou, O. Belzile, P. Thorpe and D. Zhao, (2014). Phosphatidylserine-targeted bimodal liposomal nanoparticles for in vivo imaging of breast cancer in mice. *J Control Release*, **183**: 114–123.